

شماره ۱۳۰، بهار ۱۴۰۰

صص: ۲۰۲~۱۹۱

اثر توزیع‌های پیشین مدل‌های آماری متفاوت بر صحت پیش‌بینی ژنومی: مطالعه شبیه‌سازی

- یحیی محمدی (نویسنده مسئول)
استادیار و عضو هیات علمی دانشگاه ایلام.
- جواد احمدپناه
عضو هیأت علمی، بخش علوم دامی، مرکز تحقیقات و آموزش کشاورزی و منابع طبیعی استان کرمانشاه، سازمان تحقیقات، آموزش و ترویج کشاورزی، کرمانشاه، ایران.
- حسن بانه
استادیار، موسسه تحقیقات علوم دامی کشور، سازمان تحقیقات، آموزش و ترویج کشاورزی، کرج، ایران.

تاریخ دریافت: دی ۱۳۹۸ تاریخ پذیرش: تیر ۱۳۹۹

شماره تماس نویسنده مسئول: ۰۹۱۸۳۴۲۱۴۶۴

Email: mohamadi_yahya@yahoo.com

شناسه دیجیتال (DOI): 10.22092/asj.2020.341337.2024

چکیده

در انتخاب ژنومی از نشانگرهای SNP در کل سطح ژنوم برای برآورد اثرات نشانگر استفاده می‌شود. به کمک روش‌های مختلف آماری، ارزش‌های اصلاحی ژنومی برای حیوانات تخمين زده می‌شود. در پژوهش کنونی صحت ارزش‌های اصلاحی ژنومی مستقیم حیوان به کمک روش‌های B-LASSO beta، B-LASSO gamma، Bayes-A و BGLR برای برآورد اثرات نشانگر SNP در دو مقدار وراثت‌پذیری $\pi = 0.05$ و 0.005 مقایسه شدند. میزان پارامترهای پیش‌تنظیمی π (نسبت نشانگرهای SNP که با واریانت‌های علی در عدم تعادل پیوستگی (LD) قرار دارند) برای سه راهبرد 0.01 , 0.005 و 0.0005 (پارامتر مقیاس میانگین پیشین) برای چهار راهبرد 0.01 , 0.005 و 0.0005 شبهیه‌سازی و تأثیر آن‌ها بر صحت پیش‌بینی ژنومی بررسی گردید. بیشترین صحت‌های ارزش اصلاحی ژنومی مستقیم با روش Bayes-A برای وراثت‌پذیری $\pi = 0.005$ به مقدار 0.088 و برای وراثت‌پذیری $\pi = 0.0005$ به مقدار 0.069 برآورد شدند. ضرب رگرسیون برای تمام روش‌های برآورد اثرات نشانگر در وراثت‌پذیری $\pi = 0.005$ نسبت به وراثت‌پذیری $\pi = 0.0005$ اریبی کمتر را نشان داد. در وراثت‌پذیری $\pi = 0.0005$ کمترین مقدار خطای آزمایشی مربوط به روش Bayes-A ($0.011/2$) و بیشترین مقدار آن مربوط به روش B-LASSO ($0.065/2$) بود. بیشترین مقدار صحت مربوط به Bayes-A در $\pi = 0.005$ برابر 0.0081 و کمترین مقدار صحت در $\pi = 0.0005$ در روش BGLR دیده شد. میزان صحت پیش‌بینی ژنومی با تغییر پارامتر π از 0.0005 به سمت 0.005 و 0.01 کاهش بیشتری داشت. نتایج پژوهش کنونی نشان داد که میزان بیهینه پارامتر پیش‌تنظیمی π برای حداکثر نمودن صحت پیش‌بینی ژنومی برای صفات با وراثت‌پذیری متوسط به بالا (۰/۰۳) از 0.041 تا 0.056 و برای صفاتی با وراثت‌پذیری پایین (۰/۰۵) از 0.056 تا 0.073 پیشنهاد می‌گردد. همچنین مقدار بیهینه پارامتر پیش‌تنظیمی π^2 برای صفات با وراثت‌پذیری متوسط به بالا (۰/۰۳) از 0.005 تا 0.012 و برای صفات با وراثت‌پذیری پایین (۰/۰۵) از 0.012 تا 0.02 پیشنهاد می‌گردد.

واژه‌های کلیدی: پارامترهای پیش‌تنظیمی، توزیع اثرات نشانگر، صحت پیش‌بینی، شبیه‌سازی.

Animal Science Journal (Pajouhesh & Sazandegi) No 130 pp: 191-202

The effect of prior distributions of different statistical models on the accuracy of genomic prediction: simulation study.

By: Yahya Mohammadi^{1*}, Javad Ahmadpanah², Hassan Baneh³

1: Assistant professor, Department of Animal Science, Faculty of Agriculture, Ilam University, Ilam, Iran

2: Animal Science Research Department, Kermanshah Agriculture and Natural Resources Research and Education Center, Kermanshah, Iran.

3: Animal Science Research Institute of Iran, Agriculture Research, Education and Extension Organization (AREEO), Karaj, Iran.

Received: February 2020

Accepted: July 2020

In the genomic selection, SNP markers across whole genome are used to estimate the marker effects. Genomic breeding value of animals can be predicted by different statistical methods. Genomic breeding value of animals can be predicted by different statistical methods. In the present study, accuracies of the predicted direct genomic breeding values were compared under several statistical models including Bayes A, B-LASSO gamma, B-LASSO beta and BGLR by considering two heritabilities of 0.3 and 0.05. Three values of π (0.1, 0.3, and 0.5) and four values of s^2 (0.01, 0.1, 10, and 100) were simulated and correspondingly evaluated in terms of accuracy. The obtained results showed the highest accuracy of direct genomic breeding value was obtained under Bayes-A method, which were 0.88 and 0.69 for heritabilities of 0.3 and 0.05, respectively. Regression coefficients of methods for estimating the marker effects were more unbiased under heritability of 0.3 than 0.05. By considering the heritability of 0.3, the lowest and highest error were obtained under Bayes-A (121.2) and B-LASSO beta (165.2) methods, respectively. Under BGLR method, the highest and lowest accuracy of Bayes-A were obtained for π , 0.5 (0.81) and π , 0.1 (0.45). By increasing s^2 parameter a decrease in the accuracy of genomic predictions was obtained. The obtained results suggested that to maximize the accuracy of the genetic prediction for traits with moderate to high heritability (0.3) optimal point of parameter π may ranged from 0.41 to 0.56 and while for traits with low heritability from 0.56 to 0.73. Also, the optimal level of s^2 hyperparameters parameter, for traits with medium to high heritability (0.3) ranged from 0.05 to 0.12 and for traits with low heritability (0.05) from 0.02 to 0.05.

Key words: Hyperparameters, Distribution of marker effects, Predicting genomic accuracy, Simulation.

مقدمه

در سالیان اخیر استفاده از فن آوری ژنومی با تراشه‌های نشانگری با تراکم بالا باعث بهبود کارایی انتخاب در تعداد زیادی از دام‌های اهلی شده است (Weigel و Scheifers، ۲۰۲۰؛ Harris و Nicolazzi، ۲۰۰۸). بهترین روش آماری برای تخمین ارزش ژنومی مستقیم حیوان^۱ تحت بررسی و مطالعه می‌باشد (Nicolazzi و همکاران، ۲۰۱۳). در مطالعه‌ای گزارش شده که بهترین روش برآورد ارزش ژنومی مستقیم حیوان محاسبه میانگین شرطی ارزش‌های اصلاحی ژنومی افراد در هر جایگاه صفات کمی^۲

در سالیان اخیر استفاده از فن آوری ژنومی با تراشه‌های نشانگری با تراکم بالا باعث بهبود کارایی انتخاب در تعداد زیادی از دام‌های اهلی شده است (Weigel و Scheifers، ۲۰۲۰؛ Harris و Nicolazzi، ۲۰۰۸). بهترین روش آماری برای تخمین ارزش ژنومی مستقیم حیوان^۱ تحت بررسی و مطالعه می‌باشد (Nicolazzi و همکاران، ۲۰۱۳). در مطالعه‌ای گزارش شده که بهترین روش برآورد ارزش ژنومی مستقیم حیوان محاسبه میانگین شرطی ارزش‌های اصلاحی ژنومی افراد در هر جایگاه صفات کمی^۲

³- Prior distribution

¹- Direct genomic values (DGV)
²- Quantitative trait loci

همکاران، ۲۰۰۹). در کشورهای در حال توسعه با توجه به دسترسی پژوهشگران به تعداد کم حیوانات تعیین ژنتیپ شده، دستیابی به حداکثر صحت پیش‌بینی ژنومی برای صفات با وراثت- پذیری کم و زیاد نیاز به روش‌های آماری مناسب برآورد اثرات نشانگرها می‌باشد. از طرف دیگر در راهبردهای مختلف شبیه‌سازی تنظیم دقیق پارامترهای پیش‌تنظیم بسیار مهم است، مشخصات بهینه پارامترهای پیش‌تنظیمی به چندین عامل اصلی از جمله پارامتر π (نسبت نشانگرهای SNP که با واریانت‌های علی^۱) در عدم تعادل پیوستگی (LD) قرار دارند) و پارامتر γ (درجه آزادی و S^2 پارامتر مقیاس میانگین پیشین) بستگی دارند. اهداف پژوهش کنونی، مقایسه صحت ارزش‌های اصلاحی ژنومی مستقیم حیوان به کمک روش‌های آماری متفاوت با سه توزیع متفاوت برای اثرات نشانگر SNP و همچنین مقایسه صحت برآورد ارزش‌های ژنومی مستقیم حیوان با توزیع متغیر پارامترهای π ، درجه آزادی و پارامتر مقیاس S^2 و تعیین مقدار بهینه این پارامترهای پیش‌تنظیمی بود.

مواد و روش‌ها

از نرمافزار QMSim برای ایجاد یک جمعیت در طول زمان استفاده گردید (Schenkel و Sargolzaei، ۲۰۰۹، Schenkel). در ابتدا ۱۰۰۰ نسل مجزا با ۱۰۰۰۰ فرد شبیه‌سازی گردید. برای ایجاد LD، از نسل ۱۰۰۰ به نسل ۱۰۲۰ تعداد جمعیت به ۵۰۰ حیوان کاهش یافت. در ادامه به کمک افراد جمعیت پایه، ۸ نسل تلاقي صورت گرفت. افراد ۵ نسل اول بعنوان افراد جمعیت مرجع^۲ و افراد ۳ نسل آخر بعنوان افراد جمعیت تایید^۳ در نظر گرفته شدند. تعداد QTL ۵۰ که جایگاه آنها روی کروموزوم مشخص بود، با اثرات افزایشی طراحی گردید. برای توزیع اثرات QTL توزیع گاما در نظر گرفته شد. تعداد ۵۰۰۰ نشانگر SNP بطور مساوی بر روی ۴ کروموزوم شبیه‌سازی شدند. مدل فتوتیپی پیش از تصحیح برای افراد با اثرات ثابت به صورت ذیل بود:

مطالعه آنها نشان داد که Bayes-A و Bayes-B بهتر از BLUP اثرات نشانگر را برآورد می‌کنند. مطالعات دیگری با استفاده از داده‌های واقعی نشان داد که صحت ارزش‌های ژنومی مستقیم به کمک مدل‌های بیزین غیرخطی^۴ و BLUP بستگی به نوع صفت مورد بررسی دارد (Pintus و همکاران، ۲۰۱۳ و Gaspa و همکاران، ۲۰۱۳). نتایج حاصل از مطالعه بر روی ۲۷ صفت در گاو‌های شیری به کمک مدل‌های غیر خطی (مانند Bayes-A) و BLUP نشان داد که برای بعضی صفات نظری درصد چربی و پروتئین شیر (به دلیل داشتن ژن‌های بزرگ اثر) صحت برآورد ارزش اصلاحی ژنومی به کمک مدل‌های غیرخطی بیشتر از BLUP است (VanRaden و همکاران، ۲۰۰۹). پژوهشگران با بررسی تفاوت بین صحت ارزش اصلاحی ژنومی داده‌های گاو شیری به کمک روش‌های Bayes-A و BLUP گزارش کردند که دامنه صحت از ۲ درصد برای متغیر طبقه‌بندی سود استرالیایی^۵ تا ۷ درصد برای درصد پروتئین شیر بود (Hayes و همکاران، ۲۰۰۹). از طرف دیگر در روش بیز LASSO یک رویکرد سلسه مراتبی^۶ برای محاسبه اثرات نشانگرها ترسیم شد بطوری که اثرات نشانگرها SNP دارای یک توزیع نرمال با واریانس پیشین^۷ مشخص بود (Casella و Park، ۲۰۰۹). این واریانس دارای یک توزیع نمایی^۸ و پارامتر از پیش‌تنظیم شده^۹ BLUP است که از طریق داده‌ها ترسیم می‌شود. در روش‌های Bayes-B و Bayes-A واریانس پیشین برای نشانگرهای SNP، ثابت و در بیز LASSO ناشناخته است. از طرفی قابلیت اطمینان مدل‌های پیش‌بینی ژنومی براساس استفاده از نشانگرها SNP به مشخصات مناسب پارامترهای پیش‌تنظیم شده بستگی دارد (Yang و همکاران، ۲۰۱۵). در یک مطالعه که با داده شبیه‌سازی انجام گردید، پنج نوع پارامتر و دو نوع توزیع (گاما و بتا) برای اطلاعات پیشین^{۱۰} در نظر گرفته شد نتایج تحقیق آنها نشان داد که از لحاظ صحت برآورد اثرات نشانگرها SNP تفاوت کمی بین روش‌ها وجود دارد (de los Compos و

¹- Non- linear Bayesian model

²- Australian profit ranking

³- Hierarchical approach

⁴- Prior variance

⁵- Exponential distribution

⁶- Hyperparameter

⁷- Causal variants

¹- Training population

²- Testing population

مدل (۱)

ارزش ژنومی واقعی حیوان به کمک معادله زیر برآورد گردید:

$$DGV_i = \mu + \sum_{j=1}^Z X_{ij} g_j \quad (5)$$

در روش BGLR توزیع اثرات نشانگرها بصورت نرمال و واریانس این توزیع در هر تکرار به کمک نمونه‌گیری گیبس Bayes-A محاسبه شد (Verbyla و همکاران، ۲۰۱۰). در روش Verbyla توزیع اثرات نشانگر t استوونت و درجه آزادی برای معادلات LASSO ۴/۰۱ فرض شد. در روش‌های بیز LASSO فرمول زیر استفاده شد (de los Compos و همکاران، ۲۰۰۹).

معادله (۶)

likelihood: $p(y|\mu, g, u_i, \sigma^2)$

$$\prod N(y_i|\mu + xig + ui + \sigma^2)$$

prior: $p(\mu, g, u_i, \sigma^2 | \sigma^2 t^2 \lambda^2)$

$$p(\mu|\sigma^2) p(g|\sigma^2 t^2) p(\sigma^2) p(u|\sigma^2)$$

$$= N(\mu|0, \sigma^2) \{ \prod_{j=1}^t N(gj|0, \sigma^2 t_j$$

$$\{ \prod_{j=1}^t EXP(t_j^2 |\lambda) \} G(\lambda^2 | \alpha_1, \alpha_2)$$

در معادله ۶ $N(y_i|\mu + xig + ui + \sigma^2)$ یک توزیع نرمال با میانگین $\mu + xig + ui$ و واریانس σ^2 است. $N(u|0, A, \sigma^2)$ ، $N(gj|0, \sigma^2, t^2)$ و $N(\mu|0, A\sigma^2)$ به ترتیب میانگین کل، اثرات نشانگر SNP و ارزش اصلاحی ژنومی با میانگین صفر و واریانس‌های σ^2 ، $\sigma^2 t^2$ و $A\sigma^2$ بود. $X^{-2}(\sigma^2 | dof_u, s_u)$ و $X^{-2}(\sigma^2 | dof_e, s_e)$ به ترتیب توزیع کای اسکور معکوس^{۱۴} با درجه آزادی dof و پارامتر s برای واریانس باقیمانده و ژنومی است. همچنین $EXP(t^2 |\lambda)$ یک توزیع نمایی برای واریانس نشانگر که بواسیله پارامتر λ (پارامتر تنظیمی) کنترل می‌شود. در نهایت $G(\lambda^2 | \alpha_1, \alpha_2)$ یک توزیع گاما با پارامتر شکل و میزان به ترتیب برای α_1 و α_2 بود.

y_{ijk} = $\mu + SEX_i + GEN_{ij} + e_{ijk}$

در معادله ۱، y_{ijk} ارزش فنتیپی فرد i در جمعیت مرجع، μ میانگین کل افراد، SEX_i اثرات ثابت جنس (۱ و ۲)، GEN_{ij} اثرات ثابت نسل (از ۱ تا ۸) و e_{ijk} اثرات تصادفی برای حیوان می‌باشد. بعد از تصحیح فنوتیپ مدل بصورت زیر تغییر کرد:

مدل (۲)

برای تمام حیوانات ارزش اصلاحی حقیقی^{۱۳} محاسبه گردید. صحبت برآورده از همبستگی بین ارزش ارشی مستقیم حیوان (DGV) و ارزش اصلاحی حقیقی (TBV) محاسبه گردید. هر چه عدد ضریب رگرسیون پیش‌بینی ژنومی (که از ضریب رگرسیون ارزش اصلاحی واقعی بر ارزش اصلاحی مستقیم حیوان به دست می‌آید) نزدیک به یک باشد، نشان‌دهنده این است که مقیاس ارزش اصلاحی ژنومی واقعی با ارزش اصلاحی تخمینی یکسان و هماندازه بوده و اریب آن نیز کمتر است. همچنین میانگین مربعات خطای پیش‌بینی ژنومی (MSE) که از رابطه زیر پیش‌بینی گردید (Howard و همکاران، ۲۰۱۴) می‌باشد:

معادله (۳)

$$MSE = \frac{1}{N} \sum (DGV - TBV)^2$$

توصیف مدل‌ها برای اثرات نشانگر

مدل زیر بر روی داده‌ها برازش گردید:

y = $1_n \mu + Z_u + X_g + e$ (۴)

در معادله ۴، y بردار فنوتیپی افراد در جمعیت مرجع، μ میانگین جامعه، 1_n بردار یک، Z ماتریس طرح با عناصر ۱ و ۲ بترتیب برای ژنوتیپ‌های AA و BB در حیوان ۱ و نشانگر AB و AA (زام، u) بردار ارزش‌های اصلاحی ژنومی (توزیع نرمال برای روش BGLR، t استوونت برای Bayes-A و نمایی برای بیز LASSO)، Z ماتریس طرح که داده‌ها را به اثرات اصلاحی ژنومی ارتباط می‌دهد و e بردار تصادفی باقیمانده بود. همچنین

^۱- Inverted Chi- square^۳- True breeding value

شناسایی ژنگاهها موثر بر صفات را به دلیل عدم تعادل پیوستگی (LD) افزایش داده و متعاقب آن سهم بیشتری از واریانس ژنتیکی برای این صفات قابل توجه، و در نتیجه صحت انتخاب ژنومی افزایش می‌باید (de los Compos و همکاران، ۲۰۱۳).

در معادله ۶ برای توزیع های شرطی از نمونه گیری گیبس^{۱۵} برای پاسخ به معادلات استفاده شد. پارامتر شکل و مقیاس برای پارامتر λ تنظیمی بترتیب به صورت $G(\lambda^2|P = 0.1, S = LASSO)$ تعریف شد. از بیز $p(\lambda^2|P, S) \propto 1 \times 10^{-0.4}$ بتا بدلیل انعطاف‌پذیری بیشتر پارامتر تنظیمی λ برای برآورد اثرات نشانگر استفاده شد. اطلاعات پیشین برای اثرات نشانگر در بیز LASSO بصورت مسطح^{۱۶} با دامنه وسیعتر نسبت به بیز beta گاما است. در این توزیع پارامتر λ تنظیمی به صورت $\propto Beta(\lambda|max = 400, \alpha_1 = 1.4, \alpha_2 = 1.4)$ تعریف شد. در مجموع از یک زنجیره با طول ۱۰۰۰۰ تکرار استفاده گردید. همچنین ۱۵۰۰ نمونه اول به عنوان دوره گرم کردن^{۱۷} در نظر گرفته شد. دو مقدار برای وراثت‌پذیری شامل $0/3$ (متوسط به بالا) و $0/05$ (پایین) در نظر گرفته شد. در مرحله بعد مقدار پارامتر π برای سه راهبرد $0/1, 0/3$ و $0/5$ ، مقدار پارامتر S در دامنه وسیعی از $0/01, 0/05, 0/1, 0/10$ و $0/100$ و پارامتر γ با درجه آزادی 150 برای تاثیر این سه پارامتر بر صحت پیش‌بینی ژنومی شبیه‌سازی شد. سپس برای بهترین مقدار بهینه پارامترهای پیش‌تنظیمی (π و S^2) آنالیز آماری معادلات رگرسیونی صورت گردید.

نتایج و بحث

در جدول ۱ صحت، ضریب رگرسیون و میانگین مربعات خطای آزمایشی نشان داده می‌شود. مطابق جدول ۱ در تمام روش‌های برآورد اثرات نشانگر با افزایش وراثت‌پذیری صفت صحت پیش‌بینی ژنومی افزایش یافته و مقدار این افزایش نیز معنی‌دار بdst آمد ($P \leq 0.01$). در یک مطالعه تاثیر وراثت‌پذیری صفت بر صحت پیش‌بینی ژنومی در داده‌های گاو و خوک نشان داد که با افزایش وراثت‌پذیری صفت صحت پیش‌بینی ژنومی افزایش پیدا می‌کند که با نتایج پژوهش کنونی مطابقت دارد (Zhang و همکاران، ۲۰۱۹). در صفاتی با وراثت‌پذیری پایین احتمالاً به دلیل کاهش تعداد ژنگاه‌های تأثیرگذار، می‌توان تعداد نشانگرها در سطح ژنوم را افزایش داد. افزایش تعداد نشانگرها، احتمالاً

¹- Gibbs sampler

²- Flat prior

³- Burn-in

جدول ۱- صحت، ضریب رگرسیون و میانگین مربوطات خطای آزمایشی برای روش‌های متفاوت برآورد اثرات نشانگر با داده شیوه‌سازی

BGLR	B-LASSO beta	B-LASSO gamma	Bayes-A	وراثت‌پذیری	
۰/۷۹ ^b	۰/۸۵ ^{ab}	۰/۸۶ ^{ab}	۰/۸۸ ^a	۰/۳	صحت*
۰/۵۹ ^b	۰/۶۷ ^{ab}	۰/۶۴ ^{ab}	۰/۶۹ ^a	۰/۰۵	
۱/۲۵ ^a	۰/۹۲۵ ^b	۰/۹۳۵ ^b	۱/۱۴ ^a	۰/۳	ضریب تابعیت**
۱/۴۴ ^a	۰/۸۷۷ ^b	۰/۸۹۷ ^b	۱/۳۲ ^a	۰/۰۵	
۱۴۳/۲ ^b	۱۶۵/۲ ^a	۱۶۷/۲ ^a	۱۲۱/۲ ^c	۰/۳	MSE
۱۴۹/۸ ^b	۱۶۹/۷ ^a	۱۷۳/۸ ^a	۱۳۱/۸ ^c	۰/۰۵	

- حروف متفاوت در هر ردیف صحت انتخاب، نشان دهنده معنی داری بین روش‌ها به کمک آزمون دانکن را نشان می‌دهد ($P<0.05$).

$$b = cov(TBV, DGV) / var(DGV) \quad ** r = corr(TBV, DGV) *$$

اثر طراحی گردیدند، لذا انتظار افزایش صحت پیش‌بینی اثرات نشانگر توسط این روش نسبت به روش‌های B-LASSO قابل پیش‌بینی بود. نتایج پژوهش کنونی نیز در تطابق با این فرض قرار داشت. در مطالعه‌ای شیوه‌سازی به دلیل در نظر گرفتن QTL‌ها بزرگ اثر تفاوت صحت پیش‌بینی اثرات نشانگر در روش - Bayes-A نسبت به روش‌های B-LASSO معنی دار و زیاد Nicolazzi و همکاران (۲۰۰۸) و Xu و Yi (۲۰۱۳) در پژوهشی صحت پیش‌بینی ژئومی برای صفات درصد چربی و درصد پروتئین شیر در گاوها هلشتاین - فریزین استرالیایی را با کمک چهار روش برآورد اثر نشانگر (BGR و B-LASSO beta, B-LASSO gamma، A بررسی کردند. صحت پیش‌بینی ژئومی برای صفت درصد چربی شیر که تحت تاثیر ژن بزرگ اثر DGAT1 است در این روش‌ها به ترتیب ۰/۷۵، ۰/۷۱، ۰/۷۱ و ۰/۵۹ و برای صفت پروتئین شیر به ترتیب ۰/۵۲، ۰/۴۸، ۰/۴۸ و ۰/۴۷ گزارش شد. برای پاسخ به این سوال که چرا Bayes-A در مقایسه با B-LASSO فقط با دارا بودن یک نشانگر بزرگ اثر صحت بیشتری را برای اثرات نشانگر برآورد می‌کند، می‌توان گفت که توزیع پیشین در روش Bayes-A از انعطاف‌بیشتری برخوردار بوده و همچنین تمام اثرات جهش بوسیله LD بالای بین نشانگرهای SNP به دست می‌آید، در حالیکه در روش‌های B-LASSO توزیع پیشین بین نشانگرهای زیادی با اثرات کوچک توزیع می‌گردد (ter Braak و

مطابق جدول ۱ بیشترین صحت‌های ارزش اصلاحی ژئومی مستقیم حیوانات در روش Bayes-A و وراثت‌پذیری ۰/۳ به مقدار ۰/۸۸ و در وراثت‌پذیری ۰/۰۵ به مقدار ۰/۶۹ برآورد شدند. صحت ارزش اصلاحی ژئومی مستقیم حیوانات در روش B-LASSO gamma و وراثت‌پذیری ۰/۳ و ۰/۰۵ به ترتیب ۰/۸۶ و ۰/۶۴ در روش B-LASSO beta به ترتیب ۰/۸۵ و ۰/۶۷ و در روش BGLR به ترتیب ۰/۷۹ و ۰/۵۹ بدست آمدند. صحت پیش‌بینی ژئومی روش Bayes-A نسبت به دیگر روش‌ها تا حدودی بیشتر بود. متوسط صحت بدست آمده برای روش Bayes-A نسبت به روش BGLR، واحد افزایش بیشتر و معنی داری را نشان داد ($P\leq 0.05$). صحت روش‌های مبتنی بر LASSO در مقایسه با روش BGLR ۷ واحد افزایش داشت ($P\leq 0.05$). در مطالعه‌ای که با استفاده از داده شیوه‌سازی انجام شد متوسط صحت در روش‌های B-LASSO، B-LASSO gamma، Bayes-A و BGR به ترتیب ۰/۷۷، ۰/۷۷ و ۰/۷۴ گزارش Nicolazzi و همکاران (۲۰۱۳) گردید. که با نتایج پژوهش حاضر مطابقت داشت.

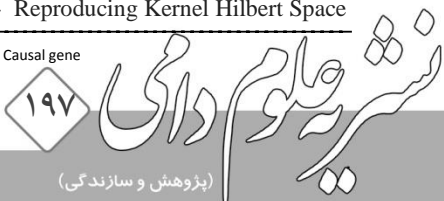
در مطالعه‌ای گزارش گردید که برای صفات با اثرات QTL متوسط و بالا، روش Bayes-A نسبت به B-LASSO اثرات Nشانگر SNP را با صحت بیشتر برآورد می‌کند (Cleveland و همکاران، ۲۰۱۰). در پژوهش کنونی با توجه به توزیع استفاده شده برای روش Bayes-A که بعضی از QTL‌ها متوسط و بزرگ

یک دلیل احتمالی این است که نشانگرها در LD کامل با ژنهای عامل^۳ نبوده و لذا واریانس ژنتیکی کل بطور کامل محاسبه نمی گردد (Guarini و همکاران، ۲۰۱۸). در مطالعه Nicolazzi و همکاران (۲۰۱۳) ضریب رگرسیون پیش‌بینی ژنومی برای B-LASSO gamma، Bayes-A، B-LASSO و BGR به ترتیب ۰/۸۵۹، ۰/۸۶۷، ۱/۰۰۹ و ۱/۳۹۵ گزارش داده شد که با نتایج پژوهش کنونی مطابقت دارد. مطابق جدول ۱، با افزایش وراثت‌پذیری در تمام روش‌های برآورد اثرات نشانگر میانگین مربعات خطای آزمایشی کاهش پیدا می‌کند. در وراثت‌پذیری ۰/۳ کمترین میزان خطای مربوط به روش B-LASSO Bayes-A (۱۲۱/۲) و بیشترین میزان مربوط به B-LASSO beta (۱۶۵/۲) بود. همچنین در وراثت‌پذیری ۰/۰۵ کمترین میزان خطای آزمایشی مربوط به روش Bayes-A (۱۳۱/۸) و بیشترین میزان را Bayes-A (۱۴۹/۸) نشان داد. در یک مطالعه که با داده‌های شبیه‌سازی انجام شد، با افزایش وراثت‌پذیری صفت، میانگین مربعات خطای آزمایشی در روش‌های پارامتری کاهش یافت که با نتایج به دست آمده در پژوهش کنونی مطابقت دارد (Howard و همکاران، ۲۰۱۴). در مطالعه محمدی و ستایی مختاری (۱۳۹۶) که با استفاده از داده‌های شبیه‌سازی شده انجام شده بود متوسط میانگین مربعات خطای در روش‌های بیز A و LASSO و روش RKHS^{۲۱} به ترتیب ۱/۸، ۱/۷ و ۱/۸۶ و ۱/۹۵ گزارش داده شد. این نتایج نشان می‌دهد که شایستگی برآش مدل‌ها و متعاقب آن صحت پیش‌بینی توسط روش بیز A نسبت به دیگر روش‌ها بهتر برآورد شد.

در جدول ۲ صحت پیش‌بینی ژنومی برای راهبردهای متفاوت پارامتر پیش‌تنظیمی π نشان داده است. با افزایش مقدار π در تمام روش‌های برآورد اثر نشانگر، صحت افزایش یافت (جدول ۲). بین روش‌های مختلف برآورد اثرات نشانگر، در حالات متفاوت π از نظر صحت پیش‌بینی ژنومی اختلاف معنی‌داری دیده شد ($P < 0.05$). بیشترین و کمترین مقدار صحت به ترتیب مربوط به Bayes-A در π برابر ۰/۰۵ (۰/۸۱) و برای روش BGLR در π برابر ۰/۰۴۵ (۰/۰۱) بود. Yang و همکاران (۲۰۱۵) بیان کردند

همکاران، ۲۰۰۵). استفاده از توزیع پیشین نمایی در روش بیزین LASSO منجر به درجه انقباض بیشتر اثرات نشانگر نسبت به روش Bayes-A می‌گردد (Van Raden و همکاران، ۲۰۰۹). در پژوهش کنونی صحت پیش‌بینی ژنومی در روش بیزین در وراثت‌پذیری Bayes-A در وراثت‌پذیری ۰/۳ مقدار ۲ واحد و در وراثت‌پذیری ۰/۰۵ مقدار ۵ واحد کاهش یافت که از لحاظ آماری معنی‌دار نبود. در یک مطالعه که از توزیع پیشین نمایی برای داده واقعی و شبیه‌سازی در گاو هاشتاین-فریزین استرالیایی استفاده شده بود، مقدار صحت بدست Bayes-A نسبت به روش LASSO آمده توسط روش بیزین Bayes-A برای داده واقعی متغیر چربی شیر مقدار ۴ واحد و برای داده شبیه-سازی این مقدار ۱۰ واحد کمتر گزارش گردید (Nicolazzi و همکاران، ۲۰۱۳). Casella و Park (۲۰۰۸) پیشنهاد کردند که برای کاهش خطای در پارامترهای پیش‌تنظیمی باید تعداد داده‌ها را بزرگ‌گر انتخاب نمود. بالا بودن خطای و کم بودن صحت پیش‌بینی ژنومی در پژوهش کنونی را احتمالاً می‌توان به تعداد محدود داده‌های شبیه‌سازی شده نسبت داد. روش‌های بیزین LASSO برای SNP نسل جدید تراشه‌های SNP برای تمام سطح ژنوم، احتمالاً در آینده روش مناسبی آماری برای برآورد صحت انتخاب باشند (Van Raden و همکاران، ۲۰۰۹).

با توجه به نتایج جدول ۱، ضریب رگرسیون به دست آمده برای تمام روش‌های برآورد اثرات نشانگر در وراثت‌پذیری ۰/۳ نسبت به وراثت‌پذیری ۰/۰۵ اریبی کمتری را نشان داد. مقدار ضریب رگرسیون در روش BGLR و LASSO beta برای وراثت‌پذیری ۰/۳ به ترتیب ۱/۱۴، ۰/۹۲۵ و ۰/۹۳۵ برابر شد. با توجه به این مقادیر می‌توان گفت که روش Bayes-A نسبت به روش‌های دیگر ناریب‌تر است زیرا ضریب رگرسیون آن به عدد یک نزدیکتر می‌باشد. ضریب رگرسیون کمتر از یک نشان‌دهنده بیش برآورد^{۱۸} پیش‌بینی ژنومی و بزرگ‌تر از عدد یک نشانه کم برآورد^{۱۹} پیش‌بینی ژنومی می‌باشد (Neves و همکاران، ۲۰۱۴). ضریب رگرسیون در روش‌های بیزین LASSO کوچک‌تر از یک برآورد گردید.



گزارش کردند که با افزایش میزان LD صحت پیش‌بینی ژنومی افزایش پیدا نمود.

که با افزایش میزان π ، صحت روش‌های آماری Bayes-A و Bayes-B افزایش می‌یابد که به طور کلی با نتایج به دست آمده در پژوهش کنونی مطابقت دارد. Chang و همکاران (۲۰۱۹)

جدول ۲- صحت برآورد اثرات نشانگر با راهبردهای مختلف پارامتر پیش‌تنظیمی π تحت روش‌های مختلف برآورد اثرات نشانگر

پارامتر	راهبردها	Bayes-A	B-LASSO gamma	B-LASSO beta	BGLR
π	.۰/۱	.۰/۶۹ ^a	.۰/۶۶ ^{ab}	.۰/۶۵ ^{ab}	.۰/۴۵ ^b
π	.۰/۳	.۰/۷۳ ^a	.۰/۷۲ ^{ab}	.۰/۷۱ ^{ab}	.۰/۶۹ ^b
π	.۰/۵	.۰/۸۱ ^a	.۰/۷۹ ^{ab}	.۰/۷۹ ^{ab}	.۰/۷۴ ^b

- حروف متفاوت در هر ردیف صحت انتخاب، نشان دهنده معنی داری بین روش‌ها را نشان می‌دهد ($P<0.05$).

در جدول ۳ صحت پیش‌بینی ژنومی برای راهبردهای متفاوت پارامتر پیش‌تنظیمی S^2 نشان داده شده است. مطابق نتایج به دست آمده، با افزایش مقدار S^2 در تمام روش‌های برآورد اثر نشانگر صحت کاهش یافت. از طرف دیگر در S^2 های متفاوت بین روش‌های مختلف برآورد اثر نشانگر، اختلاف معنی‌داری از نظر صحت پیش‌بینی ژنومی بدست آمد ($P<0.05$). با حرکت از سمت ۱/۰ پارامتر پیش‌تنظیمی S^2 به سمت راهبردهای ۱۰ و ۱۰۰ پارامتر، صحت پیش‌بینی ژنومی شبکه کاهشی به خود گرفته و دلایل کاهش صحت احتمالاً بخاطر بیش برآورد^{۱۱} زیادتر صحت پیش‌بینی ژنومی است. در مطالعه‌ای نشان داده شد که با افزایش مقدار S^2 مقدار صحت نیز کاهش می‌یابد که با نتایج پژوهش کنونی مطابقت دارد (Yang و همکاران، ۲۰۱۵) و Nicolazzi و همکاران (۲۰۱۳) گزارش کردند که پارامترهای پیش‌تنظیمی تاثیر معنی‌داری روی صحت پیش‌بینی ژنومی روش‌های B-LASSO ندارند. B-LASSO beta و gamma

جدول ۳- صحت برآورد اثرات نشانگر با راهبردهای متفاوت پارامتر پیش تنظیمی S^2 تحت روش های مختلف برآورد اثرات نشانگر

BGLR	B-LASSO beta	B-LASSO gamma	Bayes-A	راهبردها	پارامتر
۰/۴۵ ^b	۰/۶۵ ^{ab}	۰/۶۶ ^{ab}	۰/۶۹ ^a	۰/۰۱	
۰/۵۹ ^b	۰/۷۱ ^{ab}	۰/۶۷ ^{ab}	۰/۷۳ ^a	۰/۱	
۰/۳۶ ^b	۰/۵۳ ^{ab}	۰/۵۹ ^{ab}	۰/۶۰ ^a	۱۰	S^2
۰/۳۴ ^b	۰/۴۲ ^{ab}	۰/۴۶ ^{ab}	۰/۵۱ ^a	۱۰۰	

- حروف متفاوت در هر ردیف صحت انتخاب، نشان دهنده معنی داری بین روش ها را نشان می دهد ($P<0.05$).

آمدنند. برای وراثت پذیری $\pi/0.05$ مقدار پارامتر π برای روش های B-LASSO beta، B-LASSO gamma، Bayes-A به ترتیب $0/61$ ، $0/67$ و $0/56$ و برای پارامتر S^2 به ترتیب $0/02$ ، $0/03$ ، $0/04$ و $0/05$ بدست آمدند. با کاهش مقدار وراثت پذیری حد بهینه مقدار پارامتر پیش تنظیمی π برای روش های مختلف اثرات نشانگر افزایش و حد بهینه مقدار پارامتر S^2 کاهش یافت.

در جدول ۴ مقدار بهینه پارامتر های پیش تنظیمی برای برآورد حداکثر صحت انتخاب ژنومی در وراثت پذیری های متفاوت تحت روش های مختلف برآورد اثرات نشانگر، نشان داده شده است. برای وراثت پذیری $\pi/0.03$ برای روش های Bayes-A، B-LASSO gamma، B-LASSO beta و BGLR مقادیر بهینه پارامتر پیش تنظیمی π برای حصول حداکثر صحت پیش بینی ژنومی به ترتیب $0/41$ ، $0/46$ و $0/56$ و برای پارامتر S^2 به ترتیب $0/11$ ، $0/06$ و $0/05$ بدست

جدول ۴- مقدار بهینه پارامتر های پیش تنظیمی برای برآورد حداکثر صحت انتخاب ژنومی تحت روش های مختلف برآورد اثرات نشانگر

وراثت پذیری	پارامتر های پیش - تنظیمی	BGLR	B-LASSO beta	B-LASSO gamma	Bayes-A
π		۰/۵۶	۰/۴۱	۰/۴۶	۰/۵۲
S^2		۰/۱۲	۰/۰۵	۰/۰۶	۰/۱۱
صحت پیش بینی	$0/03$	۰/۷۹۶	۰/۸۵۹	۰/۸۶۷	۰/۸۹۳
π		۰/۷۳	۰/۵۶	۰/۶۱	۰/۶۷
S^2		۰/۰۵	۰/۰۲	۰/۰۳	۰/۰۴
صحت پیش بینی	$0/05$	۰/۶۰۳	۰/۶۸۳	۰/۶۵۴	۰/۶۹۴

نتیجه‌گیری

نتایج حاصل از این مطالعه نشان می‌دهد که برای حداکثر نمودن صحت پیش‌بینی ژنومی مقدار بهینه پارامترهای پیش‌تنظیمی در معادلات مهم می‌باشد. لذا پیشنهاد می‌شود که برای صفات با وراثت‌پذیری بالا مقادیر بهینه پارامتر پیش‌تنظیمی π و S^2 برای روش‌های بیزین به ترتیب $0/05$ تا $0/053$ و $0/05$ تا $0/11$ و این مقادیر برای روش BGLR $0/056$ و $0/12$ پیشنهاد می‌گردد. برای صفات با وراثت‌پذیری پایین مقادیر بهینه پارامتر پیش‌تنظیمی π و S^2 برای روش‌های بیزین به ترتیب $0/04$ تا $0/076$ و $0/02$ تا $0/04$ و این مقادیر برای روش BGLR $0/05$ و $0/073$ پیشنهاد می‌گردد.

منابع

- محمدی، ی. و ستایی مختاری، م. (۱۳۹۶). روش‌های پارامتری و ناپارامتری برای بررسی صحت انتخاب ژنومی با معماری‌های ژنتیکی افزایشی و غالیت. پژوهش‌های تولیدات دامی. شماره ۱۸. ص. ۱۶۷-۱۶۱.
- Chang, L.Y., Togian, S., Aggrey, S.E. and Rekaya R. (2019). Increasing accuracy of genomic selection in presence of high density marker panels through the prioritization of relevant polymorphisms. *BMC Genetics*. 20: 21.
- De los Campos, G., Hickey, J.M., Pong-Wong, R., Daetwyler, H.D. and Calus M.P.L. (2013). Whole-genome regression and prediction methods applied to plant and animal breeding. *Genetics*. 193: 327-345.
- De los Campos, G., Naya, H., Gianola, D., Crossa, J., Legarra, A., Manfredi, E., Weigel, K., and Cotes, J.M. (2009). Predicting quantitative traits with regression models for dense molecular markers and pedigree. *Genetics*. 182:375-385.
- Harris, B.L., Johnson, D.L., and Spelman, R.J. (2008). Genomic selection in New Zealand and the implications for national genetic evaluation. Proc. 36th ICAR Biennial Session, Niagara Falls, Canada, 38:325-330.
- Howard, R., A. L. Carriquiry and W. D. Beavis. (2014). Parametric and nonparametric statistical methods for genomic selection of traits with additive and epistatic genetic architectures. *G3*. 4: 1027-1046.
- Gaspa, G., Pintus, M.A., Nicolazzi, E.L., Vicario, D., Valentini, C., and Macciotta, N.P.P. (2013). Use of principal component approach to predict direct genomic breeding values for beef traits in Italian Simmental cattle. *Journal Animal Science*. 91:29-37.
- Guarini, A.R., Lourenco, D.A.L., Brito, L.F., Sargolzaei, M., Baes, C., Miglior, F., Misztal, I. and Schenkel, F.S. (2018). Comparison of genomic predictions for lowly heritable traits using multi-step and single-step genomic best linear unbiased predictor in Holstein cattle. *Journal of Dairy Science*. 101:1-11.
- Hayes, B., Bowman, P., Chamberlain, A. and Goddard, M. (2009). Genomic selection in dairy cattle: Progress and challenges. *Journal of Dairy Science*. 92:433-443.
- Meuwissen, T.H., Hayes, B.J., and Goddard, M.E. (2001). Prediction of total genetic value using genome-wide dense marker maps. *Genetics*. 157: 1819-1829.
- Neves, H.H.R., Carvalheiro, R., O'Brien, A. M., Utsunomiya, Y.T., do Carmo, A.S., Schenkel, F.S., Sölkner, J., McEwan, J.C., Van Tassell, C.P., Cole, J.B., da Silva, M.V., and Queiroz, S. A. (2014). Accuracy of genomic predictions in *Bos indicus* (Nellore) cattle. *Genetics Selection Evolution*. 46:17.
- Nicolazzi, E., Negrini, R., Amanda, J., Chamberlain, Goddard, M.E., Marsan, P.A., and Hayes B.J. (2013). Effect of Prior Distributions on Accuracy of Genomic Breeding Values for Two Dairy Traits. *Italian Journal of Animal Science*. 12: 551-561.
- Park, T., and Casella, G. (2008). The Bayesian Lasso. *Journal of the American Statistical Association*. 103: 681-686.

- Pintus, M.A., Nicolazzi, E.L., Van Kaam, J.B., Biffani, S., Stella, A., Gaspa, G., Dimauro, C., and Macciotta, N.P. (2013). Use of different statistical models to predict direct genomic values for productive and functional traits in Italian Holstein. *Journal Animal Breeding and Genetics.* 130:32-40.
- ter Braak, C.J.F., Boer, M.P., and Bink, M.C.A.M. (2005). Extending Xu's Bayesian model for estimating polygenic effects using markers of the entire genome. *Genetics.* 170:1435-1438.
- Sargolzaei, M., and Schenkel, F.S. (2009). QMSim: a large-scale genome simulator for livestock. *Bioinformatics.* 25: 680–1.
- Schefers, M.J. and Weigel, K.A. (2020). Genomic selection in dairy cattle: Integration of DNA testing into breeding programs. *Animal Frontiers.* 2(1): 24-37.
- VanRaden, P. M., C. P. Van Tassell, G. R. Wiggans, T. S. Sonstegard, R. D. Schnabel, J. F. Taylor, and F. S. Schenkel. (2009). Invited review: Reliability of genomic predictions for North American Holstein bulls. *Journal Dairy Science.* 92:16–24.
- Verbyla, K., Bowman, P.J., Hayes, B.J., and Goddard, M.E. (2010). Sensitivity of genomic selection to using different prior distributions. *BMC Proceedings* 4(Suppl.1):S5.
- Yang, w., Chen, C., and Tempelman, R.J. (2015). Improving the computational efficiency of fully Bayes inference and assessing the effect of misspecification of hyperparameters in whole-genome prediction models. *Genetics Selection Evolution.* 47: 13.
- Yi, N., and Xu, S. (2008). Bayesian LASSO for quantitative trait loci mapping. *Genetics.* 179:1045-1055.
- Zhang, H., Yin, L., Wang, M., Yuan, X., and Liu X. (2019). Factors Affecting the Accuracy of Genomic Selection for Agricultural Economic Traits in Maize, Cattle, and Pig Populations. *Frontiers in Genetics.* 10: 180-189.

